

粒状体の散逸エネルギーに関する実験的研究

東北大学工学部 学生員○高橋 林
 同上 正員佐武正雄
 同上 正員岸野佑次

1. はじめに 粒状体力学の構成式を微視的な考察により得るために、散逸エネルギーの発生機構を調べることが重要であると思われる¹⁾。粒状体においては、弾性エネルギーが散逸エネルギーに対して無視できるものとすれば、外力のなす仕事(W_{ex} と表示する)により散逸エネルギーを算定することが可能と考えられる。一方、散逸が粒子内の摩擦により生じるものとすれば、接触力と相対滑りにより散逸エネルギーを直接的に算定することも可能と思われる(W_{in} と表示)。本研究においては、これら2つの方法を用いて求めた散逸エネルギーを基に、粒状体の力学的性質の考察を行なったものである。

2. 実験並びに解析方法 本研究において解析の対象とした実験データは、粒状体2次元モデルの光弾性せん断試験によって得られたものである²⁾。この試験には粒子モデルとして、エポキシ板より作成した3種の径の円柱粒子(8, 10, 12 mm)を用い、これらを重量比で等しくなる様に混合したもの用いた。せん断試験装置は、4辺が独立に平行移動可能な一边が約200mmの内枠を有しており、この内枠の中に総数約460個の粒子を充てんして行なった。以下の解析は、この内枠の対角線の交点を中心とする径80mmの円形領域に粒心が含まれるものについて行なったものである。解析領域内の粒子数は約210個であった。

解析円形領域に対して、外力のなす仕事の増分は、接觸力ベクトル F_i (方向は粒子中心を結ぶ方向とし、大きさは繰次数とする)および円内粒子の変位増分ベクトル δU_i (光弾性写真を基に、画像解析装置を用いて変形解析を行ない、剛体変位は除いたものを用いて次式で求められる(図-1参照))。

$$\Delta W_{ex} = \sum_i F_i \cdot \delta U_i \quad \cdots \cdots (1)$$

ただし、上式における総和は、円形領域の周辺の粒子を対象として行なうものとし、これはこれらの粒子の総接点数である。

一方、円形領域内部における粒子内摩擦による散逸エネルギー増分は、次のようにして求められる。接点 i において接觸している2粒子の重心の間の相対位置ベクトルを r 、変形前の接点での接線方向単位ベクトルを n_i とすれば、接線方向の相対変位増分は $n_i \cdot \delta r_i$ で与えられる。また、粒子間摩擦係数を μ (解析に伴う誤差などを含めたみかけの値と考えられる)と表す。このとき、散逸エネルギー増分は、次式で与えられる(図-2参照)。

$$\Delta W_{in} = \mu \sum_i |F_i| / |n_i| \cdot \delta r_i \quad \cdots \cdots (2)$$

ただし、上式における総和は円形領域内の粒子接点を対象とし、 N は総接点数である。なお、以下の解析結果は、 $\Delta W_{in} = \Delta W_{in} / N$ により表示する。

さらに、応カテンソルはde Jongの方法を用いて求め、カテンソルは一次変換で求められる平均的な変位と実際の変位の偏差の二乗が最小となる様に定めた。

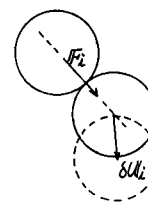


図-1

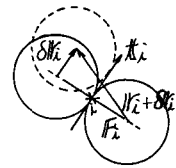


図-2

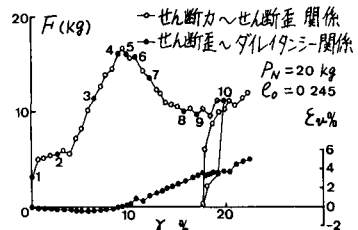


図-3 せん断歪へせん断力へダイライシ-関係

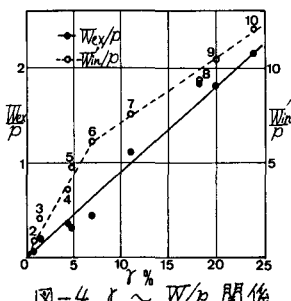


図-4 γ ~ F/P 関係

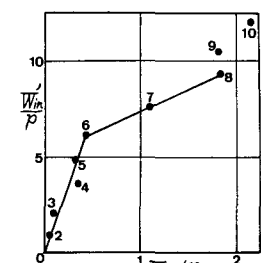


図-5 W_{ex}/P ~ W_{in}/P 関係

3. 結果並びに考察

せん断試験結果を図-3に、解析結果を図-4,5に示す。ここで図-3のせん断歪すは内杯の変位の読みから求めた値であり、図-4のは円形領域の平均的歪テンソルより計算したものである。また \bar{W}/P は次式より求めた(諸戸の提案式 $S^* = \int \frac{dW}{P}$ を参照)。

$$\bar{W}/P = \delta W_1/P_1 + \delta W_2/P_2 + \dots + \delta W_n/P_n \quad \cdots \cdots (3)$$

ここで、 P_i は各段階における平均応力である。

図-4から δ へ W_{ex}/P 関係はほぼ直線関係となる。この様に、砂について得られてる結果と同様となることは注目される。したがって、 $\delta W_{ex}/P$ へ δ の関係は次式となる。

$$\delta W_{ex}/P = k(\delta\varepsilon) = k(\delta\varepsilon_1 - \delta\varepsilon_2) \quad \cdots \cdots (4)$$

ここで、 k は図-4の傾きであり、 $\delta(W_{ex}/P) = \delta W_{ex}/P$ としている。もし応力と歪関係が共軸であれば、(4)式は次の様に表わされる。

$$2(\delta\varepsilon_1 + \delta\varepsilon_2)/(\delta_1 + \delta_2) = k(\delta\varepsilon_1 - \delta\varepsilon_2)$$

$$(\delta_1 - \delta_2)/(\delta_1 + \delta_2) = k - (\delta\varepsilon_1 + \delta\varepsilon_2)/(\delta\varepsilon_1 - \delta\varepsilon_2)$$

$$\therefore \delta/P = k - \delta\varepsilon_1/\delta\varepsilon \quad \cdots \cdots (5)$$

この様に、 δ へ W_{ex}/P 関係を具体的に把握することは、応力比へ歪増分比関係を導く上で重要なことであると考えられる。

次に、図-5の W_{in} へ W_{ex} について考察する。同図より歪硬化部分と軟化部分で、明らかに異なる傾向を示すことがわかる。 W_{in} と W_{ex} が一致すると考えて(2)式における μ の値を計算すると、歪硬化部、歪軟化部でそれぞれ約0.12, 0.43となる。この μ の値は、あくまでも見かけの摩擦係数であり、実際の摩擦係数とは異なるものである。このようなことから、上述の差異は、(2)式による摩擦性相対滑りについての評価に起因していると考えられる。上述の μ から考えて主に、歪硬化部において摩擦の評価が過大に行われているということができるが、これは歪硬化部においては変形の不均一性が多く含まれており、このことから相対変形が摩擦性滑りとして有効に表れないのでないかと考えられる。一方、歪軟化部においては、粒子構造がせん断変形に対応したものに変化しており、例えば図-6に示すような、卓越滑りを伴ったせん断変形が生じ、このことから(2)式による摩擦の評価が現実に近いものになると考えられる。このことを確かめるため、歪硬化部分と歪軟化部分の接触方向別の散逸エネルギー増分($\delta W_{in}'$)を図-7,8に示した。方向別の最小散逸エネルギーと最大散逸エネルギーとの比を求めてみると、歪硬化部の図-7(図-3における1から2)では1:3.6、歪軟化部の図-8(図-3における6から7)では1:9.9となり、歪軟化部では硬化部にくらべ、ある特定なすべり面に集中してエネルギーが散逸する傾向にあり、卓越滑りを伴ったせん断が生じていると思われる。

4. あとがき

本文においては、散逸エネルギーが粒状体の微視的な変形機構を考察する上で、有効な力学量であることを示した。今後さらに、 W_{in} の正確な評価などを行なって力学量と微視的変形機構との対応を明らかにしていきたいと考えている。

おわりに、本研究における解析に御助力を頂きました本学大学院生の森永 慶氏に謝意を表します。

[参考文献]

- 1) 岸野 佑次、「粒状体における散逸エネルギーと降伏条件について」第37回年講(1982) PP5~6
- 2) 熊坂 博夫「粒状体における微視的変形機構と巨視的力学特性の対応について」東北大学修論(1982)
- 3) 諸戸、河上、「砂の変形における状態関数」土木学会論文報告集(1974), No.229, PP77~86
- 4) 橋本 遼、「せん断を受ける粒状体の光弾性実験とその考察」東北大学卒論(1981)

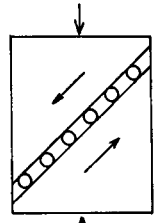


図-6 变形モデル

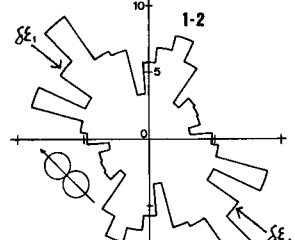


図-7 接触方向別散逸エネルギー

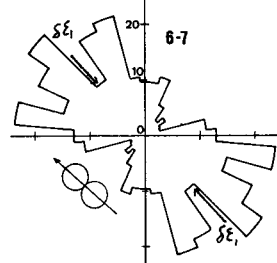


図-8 接触方向別散逸エネルギー